



F-9101. Panorámica del dique aplítico de Almorox-Navamorcuende (unidad 1). A la derecha, macizo de El Berrocal.



F-9102. Aspecto de las aplitas junto a Paredes de Escalona.



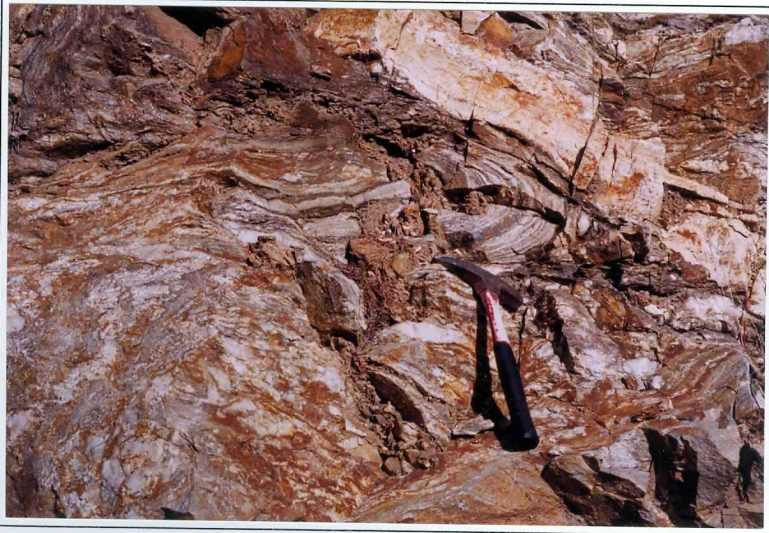
F-9103. Afloramiento de las tonalitas de Aldeoncabo de Escalona (unidad 3).



F-9104. Monzogranitos porfídicos de tipo Rozas de Puerto Real (unidad 4), con fenocristales de feldespato potásico visibles a simple vista.



F-9105. Leucogranitos biotíticos de grano medio (unidad 9), constituyentes fundamentales del stock de Cadalso de los Vidrios.



F-9106. Intensa deformación en los metasedimentos preordovícicos (unidad 15) junto a la carretera Toledo-Valladolid.



F-9107. Nuevo aspecto de los metasedimentos en la carretera de la presa de Picadas.



F-9108. Cantil de arenas correspondientes al ciclo inferior de la Unidad Inferior (unidad 17) en el entorno de El Alamín.



F-9109. Facies de bloques del ciclo superior de la Unidad Inferior junto a Paredes de Escalona.



F-9110. Nuevo aspecto de la unidad de bloques (Aragoniente medio) en el arroyo de Arroyofresno.



F-9111. Contacto entre las unidades Inferior e Intermedia de la Cuenca de Madrid, marcado por el cambio de coloración y el incremento granulométrico.



F-9112. El mismo contacto visto sobre el terreno. Nótese las típicas erosiones en regueros de los niveles blanquecinos superiores.



F-9113. Facies de bloques pertenecientes a la Unidad Intermedia (unidad 21) en el ámbito de Aldea del Fresno.



F-9114. Glacis-terrazza (unidad 27) al sur de Almorox.



F-9115. Detalle de una terraza del río Alberche, constituida por gravas de cuarcita y cuarzo en una matriz arenosa.



F-9116. Superficie de una terraza alta del Alberche (unidad 27), al pie del dique de Almorox. A la derecha, Peña de Cenicientos.



F-9117. Al fondo superficie de glacis (unidad 26) en las inmediaciones de Aldea del Fresno.

**\*SIN UBICACIÓN EN EL PLANO DE SITUACIÓN DE MUESTRAS**



F-9118. Arenas y lutitas de un cono de deyección del valle del Alberche.



F-9119. Coluvión de cantes angulosos de cuarzo en una matriz arenosa roja, al norte de Las Alegas.



F-9120. Amplia llanura aluvial del Alberche, con cauces divagantes y barras.



F-9121. Peña de Cadalso a modo de inselberg sobre la superficie de piedemonte o rampa inferior.



F-9122. Panorámica de la Cuenca de Madrid desde la Peña de Cenicientos.



F-9123. Peña de Cenicientos, cuya superficie corresponde a los restos de la superficie de parameras.



F-9124. Falla inversa mediante la que cabalga el conjunto hercínico del Sistema Central sobre los sedimentos de la Cuenca de Madrid, en Villa del Prado.



F-9125. Lanchares y lomos de ballena generados sobre los leucogranitos del stock de Cadalso de los Vidrios.



F-9126. Superficie de piedemonte acribillada por las extracciones de granitos al este de la Peña de Cadalso.